

# دانشور

## پزشکی

### بررسی سمیت سلولی نانوهیدروکسی آپاتیت در رده سلولی فیبروبلاست لثه (HGF2) در شرایط آزمایشگاهی

نوشین جلایر نادری<sup>۱\*</sup>، روبا یارایی<sup>۲</sup>، داود جمالی<sup>۳</sup> و  
محمد باقر رضوانی<sup>۴</sup>

۱. استادیار- گروه آسیب‌شناسی فک و دهان، دانشکده دندان‌پزشکی، دانشگاه شاهد، تهران، ایران

۲. دانشیار- گروه ایمنولوژی، دانشکده پزشکی و مرکز تحقیقات تنظیم پاسخ‌های ایمنی دانشگاه شاهد، تهران، ایران

۳. کارشناس- گروه ایمنولوژی، دانشکده پزشکی، دانشگاه شاهد، تهران، ایران

۴. استادیار- گروه ترمیمی، دانشکده دندان‌پزشکی، دانشگاه شاهد، تهران، ایران

Email: noushin\_jly85@yahoo.com

\* نویسنده مسئول: نوشین جلایر نادری

#### چکیده

مقدمه و هدف: با گسترش فناوری نانو، ذرات نانو هیدروکسی آپاتیت در عرصه پزشکی و دندان‌پزشکی به کارگرفته شده‌اند؛ اطلاعات موجود درباره اثرهای بیولوژیک این ذرات به‌طور کامل، مشخص نیست. این مطالعه با هدف بررسی سمیت نانو هیدروکسی آپاتیت بر فیبروبلاست‌های لثه انجام شد.

مواد و روش‌ها: غلظت‌های مختلف نانو هیدروکسی آپاتیت از mg/ml ۰/۰۰۲ تا ۰/۰۰۲ در ۲۴، ۴۸ و ۷۲ ساعت بر سلول‌های فیبروبلاست لثه تأثیرداده شد. میزان سمیت سلولی این ماده در غلظت و زمان‌های مختلف با روش‌های MTT و LDH بررسی شد.

یافته‌ها: روش MTT: دوزهای بالاتر از mg/ml ۵ و ۲ در ۲۴ ساعت، دوزهای بالاتر از mg/ml ۵ و ۲ و دوزهای پایین‌تر از mg/ml ۰/۰۰۱ و ۰/۰۰۰۵ و ۰/۰۰۰۲ در ۴۸ ساعت، دوزهای بالای mg/ml ۰/۰۵ و دوزهای پایین mg/ml ۰/۰۰۵ و ۰/۰۰۰۲ در ۷۲ ساعت سبب کاهش معنادار احیاء رنگ و جذب نوری فیبروبلاست‌ها شدند. روش LDH: در ۲۴ ساعت در دوز ۵mg/ml افزایش و در دوز mg/ml ۰/۰۲ کاهش، در ۴۸ ساعت در دوزهای mg/ml ۱،۰۵ افزایش و در دوز mg/ml ۰/۰۱ کاهش معنی دار و در ۷۲ ساعت در دوز ۵ mg/ml افزایش تولید LDH وجود داشت. غلظت مورد نیاز برای درصد مرگ سلولی در هر سه زمان حدود ۶ میلی‌گرم در میلی‌لیتر بود.

نتیجه‌گیری: غلظت‌های بالای نانوهیدروکسی آپاتیت اثر توکسیک بر سلول‌های فیبروبلاست لثه در ۲۴ ساعت و بیشتر از آن دارند.

واژگان کلیدی: سمیت سلولی، نانوهیدروکسی آپاتیت، رده سلولی فیبروبلاست

دوماهنامه علمی-پژوهشی

دانشگاه شاهد

سال نوزدهم - شماره ۹۹

تیر ۱۳۹۱

دربافت: ۹۰/۱۱/۲۳

آخرین اصلاح‌ها: ۹۱/۱/۲۴

پذیرش: ۹۱/۲/۲

## مقدمه

هیدروکسی آپاتیت نوعی سرامیک آپاتیت است. سرامیک‌ها با داشتن خصوصیاتی همانند خشی‌بودن و ثبات شیمیایی در مقایسه با فلزات سازگاری نسبی بالاتری دارند و پاسخ‌های بیولوژیک کمتری ایجاد می‌کنند. هیدروکسی آپاتیت به فاز معدنی استخوان و دندان، بسیار شباهت دارد و به عنوان جایگزین آنها به کار می‌رود؛ هدای پذیری کمتر حرارت و الکتریسیته و خصوصیات الاستیک مشابه استخوان از خصوصیات دیگر این ماده است که استفاده از آن را مورد توجه قرارداده است (۱). پارتيکل‌های هیدروکسی آپاتیت در اندازه‌های نانو بر افزایش رشد سلولی و تشکیل بیومیترال‌ها تأثیری بیشتر دارند (۲). نشان داده شده است که نانوهیدروکسی آپاتیت سبب بهبود فعالیت زیستی و سازگاری نسبی بالاتر در ایمپلنت‌های استخوانی و مواد ترمیمی می‌شود (۳ تا ۷).

تأثیر پارتيکل‌های نانو بر سلامت انسان و محیط اطراف او به طور کامل مشخص نشده است. ذرات نانو، توانایی عبور از غشاها بیولوژیک را دارند و به همین دلیل، احتمال آن می‌رود که توانایی تأثیر بر سلول‌های بدن را داشته باشد (۸).

بررسی اثر نانوهیدروکسی آپاتیت بر سلول‌ها نشان‌دهنده تأثیرهای بافتی متفاوت بوده است (۹ و ۱۰). از ذرات نانو هیدروکسی آپاتیت در دهان‌شویه‌ها، خمیر دندان‌ها و مواد ترمیمی دندان‌پزشکی به منظور افزایش بهبود تأثیر آنها استفاده می‌شود؛ همچنین، استفاده از این ذرات، سبب تماس این مواد با محیط دهان می‌شود. به رغم استفاده روزافرون از این مواد، اطلاعات موجود درباره خصوصیات بیولوژیک این ذرات به طور کامل مشخص نشده است. با توجه به اهمیت این نکته، مطالعه حاضر با هدف بررسی سمیت ذرات نانوهیدروکسی آپاتیت بر رده سلولی فیبروبلاست لثه (HGF2) انجام شد.

## مواد و روش‌ها

مطالعه حاضر از نوع بررسی توصیفی است. این مطالعه در گروه ایمنولوژی دانشکده پزشکی دانشگاه شاهد انجام گرفت. نانو هیدروکسی آپاتیت به صورت پودری سفید با میانگین قطر ذرات ۱۰nm از کمپانی NANOSHEL تهیه شد و به منظور پیشگیری از ایجاد آلودگی در محیط کشت، در قدم اول با قراردادن در زیر نور ماورای بنسن به مدت ۴۸ ساعت استریل شد؛ سپس با وزن کردن مقدار معین پودر و اضافه کردن مقدار معین محیط کشت به آن، غلظت‌های مشخصی از آن تهیه و به چاهک‌های پلیت ۹۶ خانه حاوی سلول اضافه شد. در این مطالعه از غلظت‌های ۵، ۲، ۱، ۰/۵، ۰/۲، ۰/۰۵، ۰/۰۱، ۰/۰۲، ۰/۰۰۵ و ۰/۰۰۲ میلی‌گرم در میلی‌لیتر (۲ تا ۵۰۰ میکرو‌گرم در میلی‌لیتر) استفاده شد.

### کشت سلول و اضافه کردن دارو

رده سلولی فیبروبلاست لثه انسان (HGF2) از بانک سلولی انسستیتو پاستور ایران (کد C166) خریداری و در محیط کشت RPMI1640 (Gibco، آمریکا) دارای ۱۰ درصد سرمه FBS (Gibco، آمریکا) کشت داده شد. برای انجام تست، سلول‌ها به تعداد ۱۰ هزار در هر چاهک پلیت ۹۶ خانه (Nunc دانمارک) کشت داده شدند و بعد از گذشت یک شب (۱۸ ساعت از زمان کشت سلول‌ها در پلیت) رقت‌های مختلف نانو هیدروکسی آپاتیت به آنها اضافه شدند. برای هریک از غلظت‌های نانو هیدروکسی آپاتیت و هریک از گروه‌های کنترل از ۵ چاهک استفاده شد.

### بررسی سمیت سلولی به روش MTT

این تست در مدت زمان‌های مورد نظر (۲۴، ۴۸ و ۷۲ ساعت) پس از مجاورت سلول‌ها با نانو هیدروکسی آپاتیت انجام شد. برای هر زمان، پلیت جداگانه‌ای در نظر گرفته شد. MTT (متیل تیازول ترازوپلیوم بروماید - Sigma آلمان) در غلظت ۵ میلی‌گرم در میلی‌لیتر تهیه شد

بدونسمیت سلولی Low Control (LC) و کنترل با سمیت سلولی بالا High Control (HL) نامیده شد. نتایج حاصل از جذب نوری با استفاده از فرمول به درصد سایتو توکسیته در سلول های مورد نظر تبدیل شد.

$$\text{LC/HC-LC} \times 100 = \text{سایتو توکسیسیته} (\%)$$

#### محاسبه IC50

در دستگاه خواننده الایزا برای تست های MTT و LDH جذب به دست آمده به درصد توکسیسیته تبدیل شد و غلظتی از دارو که می تواند موجب ۵۰ درصد مرگ و میر سلول ها شود محاسبه شد (۱۳).

#### محاسبات آماری

محاسبه آماری گروه های مختلف با استفاده از آزمون آماری ANOVA و تست تکمیلی Tucky انجام شد.  $p < 0.05$  از نظر آماری معنی دار در نظر گرفته شد.

#### یافته ها

**نتایج سمیت سلولی به روش MTT**  
در غلظت های بالای نانو هیدروکسی آپاتیت در هر سه زمان ۲۴، ۴۸ و ۷۲ ساعت کاهش شدید فعالیت حیاتی سلول ها دیده شد که از نظر آماری معنی دار است. بیشترین کاهش مربوط به بالاترین غلظت ها یعنی ۵ و ۲ میلی گرم در میلی لیتر بود (حدود ۳۵ و ۱۶ درصد در ۲۴ ساعت)؛ در دوز های کمتر و زمان های طولانی تر نیز آسیب سلولی یا کاهش رشد در مقایسه با کنترل دیده شد. نمودار ۱ نشان دهنده جذب نوری حاصل از سنجش MTT اثر نانو هیدروکسی آپاتیت بر رده سلولی فیروبلاست لته در ۲۴، ۴۸ و ۷۲ ساعت است.

#### نتایج سمیت سلولی به روش LDH

نتایج حاصل از جذب نوری (OD)، با استفاده از فرمول داده شده به درصد سایتو توکسیسیته در سلول های مورد نظر تبدیل شد. مرگ سلولی فقط در غلظت های بالای ذرات نانو دیده شد و در غلظت های کمتر، سمیت قابل توجهی وجود نداشت. در غلظت ۱ میلی گرم افزایش

و به میزان یکدهم حجم هر چاهک به آن اضافه شد؛ سپس پلیت ها به مدت ۴ ساعت در انکوباتور (Bioteck، کره جنوبی) قرار گرفتند و محیط رویی سلول ها با احتیاط تخلیه شد؛ سپس با استفاده از ایزوپروپانول اسیدی (N-Merck، آلمان) کریستال های تشکیل شده حل شد و در نهایت، میزان جذب در دستگاه خواننده الایزا (ICN، آمریکا) با طول موج ۴۹۲ خواننده شد. از آنجاکه میزان جذب متناسب با فعالیت حیاتی است، با در نظر گرفتن گروه کنترل (فاقد نانو هیدروکسی آپاتیت) به عنوان صدر صد سمیت سلولی محاسبه شد (۱۱).

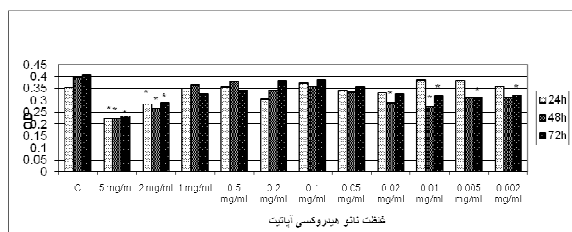
#### بررسی سمیت سلولی به روش LDH

این تست در زمان های ۲۴، ۴۸ و ۷۲ ساعت پس از مجاورت سلول ها با نانو هیدروکسی آپاتیت انجام شد. برای هر زمان، پلیتی جداگانه در نظر گرفته شد. به منظور بررسی سمیت سلولی بر سلول ها به روش LDH (کیت لاکتات دهیدروژناز - محصول شرکت Roche، آلمان)، از محیط رویی سلول ها در چاهک های پلیت ۹۶ خانه مقدار ۵۰ میکرو لیتر برداشته، به پلیت الایزا (Nunc، دانمارک) منتقل شد و طبق دستورالعمل، ۱۰۰ ملی‌لیتر (ml) از ترکیب محلول های حاوی  $\text{NAD}^+$  و دیافورز (سیتوکروم b5 ردوکتاز) و محلول حاوی نمک ترازولیوم ۲-[4-iodophenyl]-3-[4-nitrophenyl]-5-(INT) دقيقه (phenyltetrazolium chloride) اضافه شد. پس از ۳۰ دقیقه جذب نوری، مایع داخل چاهک های پلیت در دستگاه خواننده الایزا که طول موج آن، روی ۴۹۲ تنظیم شده است، خواننده شد. علاوه بر کنترل بدون نانو هیدروکسی آپاتیت (فقط محیط کشته که کنترل منفی و بدون مرگ سلولی است) در این سنجش یک گروه کنترل حاوی ۲ درصد ماده Triton X100 (Merck، آلمان) گذاشته شد تا بالاترین میزان سمیت سلولی و LDH تولید شده از سلول های مرتبه مرتبط به دست آید (۱۲). کنترل با محیط

لته در ۲۴، ۴۸ و ۷۲ ساعت است.

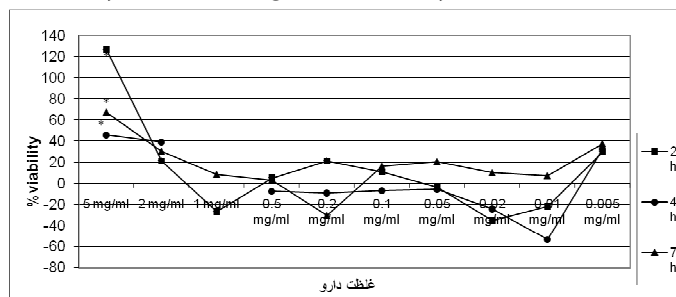
فعالیت دیده شد. نمودار ۲ نشان دهنده درصد سمیت

سلولی نانوهیدروکسی آپاتیت بر رده سلولی فیبروبلاست



نمودار ۱. جذب نوری حاصل از سنجش MTT اثر نانوهیدروکسی آپاتیت بر رده سلولی فیبروبلاست لته در ۲۴، ۴۸ و ۷۲ ساعت.

ستون‌های ستاره دار بیانگر معنی دار بودن اختلاف میانگین با گروه کنترل خود است ( $p<0.05$ ).



نمودار ۲. درصد سمیت سلولی نانوهیدروکسی آپاتیت بر رده سلولی فیبروبلاست لته در ۲۴، ۴۸ و ۷۲ ساعت . ستاره‌ها نشان دهنده معنی دار بودن اختلاف میانگین درصد سیتوکوکسیسته با گروه کنترل خود هستند ( $p<0.05$ ).

مورد استفاده در این مطالعه به صورت سوسپانسیون mg/ml

## نتایج IC50

و در اندازه متوسط با ابعاد ۱۰ میکرومتر بود. نتایج تست MTT نشان داد که نانوهیدروکسی آپاتیت در زمان‌های ۲۴، ۴۸ و ۷۲ ساعت در غلظت‌های ۵ و ۲ اثر سمی روی سلول‌های فیبروبلاست دارد و غلظت‌های کمتر توانسته‌اند آسیب جدی در فعالیت حیاتی سلول‌ها ایجاد کنند. از آنجاکه تست MTT نشان دهنده فعالیت حیاتی سلول‌هاست، کاهش آن نشانه آسیب یا مرگ سلولی خواهد بود. این نتایج نشان می‌دهند که مجاورت سلول‌های فیبروبلاست لته با غلظت‌های بالای نانوهیدروکسی آپاتیت سبب مرگ این سلول‌ها می‌شود.

جدول ۱. IC50 ذرات هیدروکسی آپاتیت روی سلول‌های فیبروبلاستی لته بر حسب میلی‌گرم در میلی‌لیتر

زمان	LDH IC50 در تست	MTT IC50 در تست
۲۴ ساعت	۶/۵۸ میلی‌گرم/میلی‌لیتر	۶/۴۶ میلی‌گرم/میلی‌لیتر
۴۸ ساعت	۶/۶۱ میلی‌گرم/میلی‌لیتر	۶/۴ میلی‌گرم/میلی‌لیتر
۷۲ ساعت	۳/۸۱ میلی‌گرم/میلی‌لیتر	۶/۲۴ میلی‌گرم/میلی‌لیتر

براساس تست MTT غلظت مورد نیاز برای ۵۰ درصد مرگ و میر سلولی در هر سه زمان، حدود ۶ میلی‌گرم در میلی‌لیتر است. در تست LDH غلظتی کمتر برای آسیب غشایی ۵۰ درصد از سلول‌ها لازم است. جدول ۱ نشان دهنده IC50 ذرات هیدروکسی آپاتیت روی سلول‌های فیبروبلاستی لته است.

## بحث

در این مطالعه، سمیت محلول نانوهیدروکسی آپاتیت بر سلول‌های فیبروبلاست لته انسان تهیه شده از بانک سلولی مورد بررسی قرار گرفت. نانوهیدروکسی آپاتیت

آسیب‌های واردشده به سلول به خصوص آسیب‌های غشایی که می‌توانند خروج آنزیم‌ها را سبب‌شوند و مرگ سلول را به دنبال داشته باشند، استوار است.

هماهنگ‌بودن نتایج این دو تست در غلظت‌های بالا و زمان کوتاه می‌تواند نشان‌دهنده آن باشد که ساختار مهم در کاهش فعالیت حیاتی و آسیب سلولی، همان آسیب غشایی است. کاهش فعالیت در زمان‌های طولانی تر - به خصوص در غلظت‌هایی که آسیب مربوط به زمان کوتاه مشاهده نشده است یعنی غلظت‌های کم - می‌تواند پدیده‌ای تنظیمی باشد، زیرا در تست LDH این پدیده مشاهده نشده، پس آسیب غشایی اتفاق نیافتداده است؛ در عین حال، کاهش مختصر مشاهده شده در فعالیت سلول، ممکن است به دلیل حضور ذرات در محیط باشد که سبب ایجاد شرایطی در خروج رشد این سلول‌ها از حالت ایده‌آل می‌شود و متعاق آن، کاهشی مختصر در تکثیر را به دنبال دارد. بعد از ۷۲ ساعت که سلول‌های گروه کنترل، تکثیر شوند، این تفاوت خود را تا حدی به طور مطلوب، نشان می‌دهد.

گزارش‌های مختلف نشان‌داده‌اند که پارتیکل‌های نانوهیدروکسی آپاتیت سبب بهبود خصوصیت مواد می‌شوند (۱۵ تا ۱۷). نام فارسی آورده شود<sup>۱</sup> و همکاران (۲۰۱۰) گزارش کرده‌اند که وارد کردن نانوهیدروکسی آپاتیت در ماتریکس پلی‌یورتان، محیط مناسبی برای چسبیدن و تکثیر سلول‌ها ایجاد می‌کند (۱۸).

نام فارسی آورده شود<sup>۲</sup> و همکاران نیز در سال ۲۰۱۱ نشان‌داده‌اند که کمپوزیت نانوهیدروکسی آپاتیت در حضور ماتریکس نشاسته سازگاری زیستی بهتری از نانوهیدروکسی آپاتیت دارد، یعنی قادر آثار نامطلوب نانوهیدروکسی آپاتیت بر تکثیر سلولی است (۱۹).

نتایج تست LDH نشان‌داد که نانو هیدروکسی آپاتیت در همه زمان‌های مورد آزمایش در غلظت‌های ۵ mg/ml و ۲ اثر سمی بر سلول‌های فیبروبلاستی دارد. با توجه به اینکه تست LDH در اصل بر آسیب غشایی سلول و خروج مواد از غشاء سلول استوار است (۱۴)، نتایج این آسیب آسیب سلولی در غلظت‌های بالاست؛ از آنجاکه این آسیب در غلظت‌های کمتر مشاهده نشده، می‌توان نتیجه گرفت که در غلظت‌های پایین‌تر، آسیب جدی (در حد تأثیرگذار در این تست) به غشاء سلول وارد نکرده‌اند و آسیب‌ها در حدی هستند که برای سلول قابل ترمیم‌اند.

کاهش مختصر فعالیت حیاتی در زمان‌های طولانی با غلظت‌های بسیار کم هم مشاهده شد؛ این امر ممکن است تحت تأثیر مکانیسم‌های متفاوت نظری اثر بر گیرنده‌ها، مسیرهای سیگنالینگ یا اثر بر تنظیم فعالیت سلول باشد. از آنجاکه کاهش فعالیت سلولی فقط در زمان‌های بعد از ۴۸ ساعت دیده شد و در تست LDH مشاهده نشده، این امر می‌تواند ناشی از تغییر در فعالیت تکثیری سلول‌ها در مقایسه با کنترل باشد.

نتایج IC50 نیز به این نکته اشاره دارند که شدت آسیب یا درصد سلول‌های آسیب‌دیده در تست LDH در مقایسه با تست MTT بیشتر است؛ به عبارت دیگر، غلظت مورد نیاز برای ۵۰ درصد آسیب به سلول‌ها در تست LDH کمتر است؛ از این یافته می‌توان این گونه استنباط کرد که در غلظت‌های بالا، عده آسیب وارد شده به سلول، آسیب غشایی است که مرگ سلولی از پیامدهای آن است. این یافته در تست MTT به خوبی دیده شد. از آنجاکه تست MTT براساس فعالیت حیاتی سلول‌ها به خصوص آنزیم‌های میتوکندریایی استوار است، تناسب خوبی با فعالیت متابولیک و عمومی سلول‌ها (زنده‌بودن و فعالیت حیاتی) و همچنین تعداد آنها در صورت تکثیر دارد؛ بر عکس تست LDH بر

غلظت نانوهیدروکسی آپاتیت در محیط کشت سلول‌های P388 (لوسمی) موجب افزایش مرگ آنها می‌شود. غلظت مورد استفاده در این مطالعه ۸ تا ۴۰ میکروگرم در میلی‌لیتر بوده است (۲۳).

برخلاف این یافته‌ها، Wang و همکاران در سال ۲۰۰۷ گزارش کردند که داربست‌های تهیه شده از کمپوزیت نانوهیدروکسی آپاتیت / پلی‌آمید بر تکثیر یا تمایز سلول‌های بنیادی مزانشیال به دست آمده از مغز استخوان، تأثیری مخرب ندارند (۲۴).

تفاوت به دست آمده از نتایج، ممکن است از میزان ورودی پارتیکل‌ها به سلول ناشی باشد که برای سلول‌های مختلف به میزانی متفاوت است به طوری که میزانی در حد ۴ میکروگرم در میلی‌لیتر برای سلول‌های لوسمیک و براساس یافته‌های این مطالعه ۲ میکروگرم در میلی‌لیتر برای فیبروبلاست‌ها سمی است؛ این تفاوت می‌تواند از ساختار مختلف سلول‌ها ناشی شده باشد.

در جمع‌بندی با یافته‌های بالا می‌توان نتیجه‌گرفت که نانوهیدروکسی آپاتیت بالقوه توانایی ایجاد اثرهای نامطلوب بیولوژیکی را دارد. براساس یافته‌های مطالعه حاضر، این ماده در غلظت‌های بالا اثری جدی بر مرگ سلولی در ۲۴ ساعت و بیشتر از آن دارد لذا در زمان استفاده از غلظت‌های بالای آن، بهتر است احتیاط شود. به نظر می‌رسد که ساختار اصلی آسیب در غلظت‌های بالای نانوهیدروکسی آپاتیت، آسیب وارد شده به غشای سلولی است، اکنون این پرسش مطرح می‌شود که «آیا این اثر در زمان‌های کمتر از ۲۴ ساعت هم مشاهده خواهد شد یا خیر؟»؛ این پرسشی است که جادار در تحقیقاتی بعدی به آن پرداخته شود. این احتمال وجود دارد که غلظت‌های کمتر نانوهیدروکسی آپاتیت یا ترکیب آن با سایر مواد سازگار بیولوژیک با کاهش شدت این اثر همراه باشد. تأثیر بر سایر رفتارهای سلول از جمله تولید سایتوکاین‌هایی که

به رغم آثار مفید استفاده از این ماده، تأثیر ذرات نانو بر موجود زنده به خوبی مشخص نیست.

اسم فارسی آورده شود<sup>۱</sup> و همکاران در سال ۲۰۰۹ نشان دادند که اندازه ذرات و فرم سنتیک آنها به شکل ژل یا کلووید اثری مهم روی تأثیر توکسیک آنها بر ماکرو‌فازهای انسانی دارد. بیشترین تأثیر توکسیک در شکل ژل در مقدار ۵۰۰-۳۱ میکروگرم در میلی‌لیتر دیده شد؛ بقیه اشکال در غلظت‌های بالاتر از ۲۵۰ میکروگرم (۰/۲۵ میلی‌گرم در میلی‌لیتر) تأثیر مخرب داشتند؛ این اثر به تغییرهای کلسیم داخل سلولی ارتباط داده شد (۲۰). بررسی ذرات نانو کربوکسیل پلی استایرین نشان داده است که سبب ایجاد صدمه سلولی توسط این ذرات، ناشی از آپوپتوز، نکروز و تکثیر سلولی است (۲۱).

مطالعه روی ذرات نانو اکسید فلزی نیز بیانگر آن بوده است که هرچه میزان بار کاتیونی بیشتر باشد، میزان سمیت پارتیکل‌های نانو اکسید فلزی کمتر است (۲۲).

این یافته‌ها بیانگر آثار مخرب پارتیکل‌های نانو بر موجود زنده هستند. با نتیجه این مطالعه که نشان داد غلظت‌های بالای نانوهیدروکسی آپاتیت اثر توکسیک بر سلول‌های فیبروبلاست لته دارد، همخوانی است. در مطالعه حاضر از شکل سوسپانسیون و در مطالعات بالا اشکال ژل واکسیده این ماده مورد استفاده قرار گرفته‌اند؛ این نکته نشان می‌دهد که بررسی سمیت سلولی پارتیکل‌های نانو به تحقیق‌هایی بیشتر و تکمیلی‌تر نیاز دارد. از آنجاکه مطالعه‌ای درخصوص آثار توکسیک نانوهیدروکسی آپاتیت بر رده سلولی فیبروبلاست لته یافت نشد؛ امکان مقایسه یافته‌های این مطالعه با مطالعات مشابه وجود نداشت. مطالعاتی محدود بر سلول‌های دیگر گزارش شده است.

و همکاران (۲۰۰۷) گزارش کردند که افزایش

## منابع

- O'Brien WJ. Dental materials and their selection. 4<sup>th</sup> ed. Canada: Quintessence Publishing Co; 2008: 308-311.
- Liu X, Zhao M, Lu J, Ma J, Wei J, Wei S. Cell responses to two kinds of nanohydroxyapatite with different sizes and crystallinities. *Int J Nanomedicine*. 2012;7:1239-50.
- Huang S, Gao S, Cheng L, Yu H. Remineralization Potential of Nano-Hydroxyapatite on Initial Enamel Lesions: An in vitro Study. *Caries Res* 2011;45(5):460-468.
- Tschoppe P, Zandim DL, Martus P, Kielbassa AM. Enamel and dentine remineralization by nano-hydroxyapatite toothpastes. *J Dent* 2011;39(6):430-7.
- Abd El-Fattah H, Helmy Y, El-Kholy B, Marie M. In vivo animal histomorphometric study for evaluating biocompatibility and osteointegration of nano-hydroxyapatite as biomaterials in tissue engineering. *J Egypt Natl Canc Inst* 2010;22(4):241-50.
- Cunniffe GM, Dickson GR, Partap S, Stanton KT, O'Brien FJ. Development and characterisation of a collagen nano-hydroxyapatite composite scaffold for bone tissue engineering. *J Mater Sci Mater Med* 2010;21(8):2293-8.
- Yang GL, He FM, Hu JA, Wang XX, Zhao SF. Effects of biomimetically and electrochemically deposited nano-hydroxyapatite coatings on osseointegration of porous titanium implants. *Oral Surg Oral Med Oral Pathol Oral Radiol Endod* 2009;107(6):782-9.
- Brooking J, Davis SS, Illum L. Transport of nanoparticles across the rat nasal mucosa. *J Drug Target* 2001;9(4):267-79.
- Kasaj A, Röhrig B, Zafiropoulos GG, Willershausen B. Clinical evaluation of nanocrystalline hydroxyapatite paste in the treatment of human periodontal bony defects-a randomized controlled clinical trial: 6-month results. *J Periodontol* 2008 ;79(3):394-400.
- Schwarz F, Bieling K, Latz T, Nuesry E, Becker J. Healing of intrabony peri-implantitis defects following application of a nanocrystalline hydroxyapatite (Ostim) or a bovine-derived xenograft (Bio-Oss) in combination with a collagen membrane (Bio-Gide). A case series. *J Clin Periodontol* 2006 ;33(7):491-9.
- Morgan DM. Tetrazolium (MTT) assay for cellular viability and activity. *Methods Mol Biol* 1998; 79: 179-83.
- Decker T, Lohmann-Matthes ML. A quick and simple method for the quantitation of lactate dehydrogenase release in measurements of cellular cytotoxicity and tumor necrosis factor (TNF) activity". *J Immunol Methods* 1988 ;115 (1): 61-9.
- Plumb JA. Cell sensitivity assays : the MTT assay. *Methods Mol Med* 1999;28:25-30.
- Racher AJ, Looby D, Griffiths JB. Use of lactate dehydrogenase release to assess changes in culture viability. *Cytotechnology* 1990 3(3): 301-307.
- Zeng S, Fu S, Guo G, Liang H, Qian Z, Tang X, Luo F. Preparation and characterization of nano-hydroxyapatite/poly(vinyl alcohol) composite membranes for guided bone regeneration. *J Biomed Nanotechnol* 2011;7(4):549-57.

ممکن است به فیروز، التهاب یا سایر پدیده‌های بیولوژیک منجر شوند و نیز بررسی در شرایط داخل بدن نکاتی هستند که به مطالعه نیاز دارند.

## نتیجه گیری

غلظت‌های بالای نانوهیدروکسی آپاتیت بر سلولی‌های فیبروبلاست لثه در ۲۴ ساعت و بیشتر از آن، اثر توکسیک دارد.

## تقدیر و تشکر

بدین‌وسیله از گروه ایمونولوژی دانشکده پزشکی دانشگاه شاهد و مرکز تحقیقات دندان‌پزشکی دانشگاه شاهد تشکر و تقدیر به عمل می‌آید.

## تضاد منافع

این مطالعه، نتیجه طرح پژوهشی (بررسی سمیت سلولی نانوهیدروکسی آپاتیت بر رده سلولی فیبروبلاست لثه (HGF2) در شرایط آزمایشگاهی) مصوب مرکز تحقیقات دندان‌پزشکی دانشگاه شاهد است.

16. Li Z, Yubao L, Yi Z, Lan W, Jansen JA. In vitro and in vivo evaluation on the bioactivity of ZnO containing nano-hydroxyapatite/chitosan cement. *J Biomed Mater Res A* 2010;93(1):269-79.
17. Li J, Li Y, Ma S, Gao Y, Zuo Y, Hu J. Enhancement of bone formation by BMP-7 transduced MSCs on biomimetic nano-hydroxyapatite/polyamide composite scaffolds in repair of mandibular defects. *J Biomed Mater Res A* 2010 ;95(4):973-81.
18. Liu H, Zhang L, Li J, Zou Q, Zuo Y, Tian W, Li Y. Physicochemical and biological properties of nano-hydroxyapatite-reinforced aliphatic polyurethanes membranes. *J Biomater Sci Polym Ed* 2010; 21(12): 1619-36.
19. Meskinfam M, Sadjadi MA, Jazdarreh H, Zare K. Biocompatibility evaluation of nano hydroxyapatite-starch biocomposites. *J Biomed Nanotechnol* 2011; 7(3): 455-9.
20. Motskin M, Wright DM, Muller K, Kyle N, Gard TG, Porter AE, Skepper JN. Hydroxyapatite nano and microparticles: correlation of particle properties with cytotoxicity and biostability. *Biomaterials* 2009; 30(19): 3307-17.
21. Fröhlich E, Samberger C, Kueznik T, Absenger M, Roblegg E, Zimmer A, etal. Cytotoxicity of nanoparticles independent from oxidative stress. *J Toxicol Sci* 2009 ;34(4):363-75.
22. Hu X, Cook S, Wang P, Hwang HM. In vitro evaluation of cytotoxicity of engineered metal oxide nanoparticles. *Sci Total Environ* 2009 1;407(8):3070-2.
23. Li G, Huang J, Li Y, Zhang R, Deng B, Zhang J, Aoki H. In vitro study on influence of a discrete nano-hydroxyapatite on leukemia P388 cell behavior. *Biomed Mater Eng* 2007; 17(5): 321-7.
24. Wang H, Li Y, Zuo Y, Li J, Ma S, Cheng L. Biocompatibility and osteogenesis of biomimetic nano-hydroxyapatite/polyamide composite scaffolds for bone tissue engineering. *Biomaterials* 2007; 28(22): 3338-48.

## Cytotoxicity of nano-hydroxyapatite on gingiva-derived fibroblast cell line (HGF2): An in vitro study

Noushin Jalayer Naderi<sup>1\*</sup>, Roya Yaraee<sup>2</sup>, Davoud Jamali<sup>2</sup>, Mohammad Bagher Rezvani<sup>3</sup>

1. Department of Oral and Maxillofacial Pathology, Faculty of Dentistry, Shahed University, Tehran.Iran

2. Department of Immunology, Faculty of Medicine, Shahed University and Immunoregulation Research Center, Shahed University, Tehran, Iran

3. Department of Operative Dentistry, Faculty of Dentistry, Shahed University, Tehran, Iran

Email: noushin\_jly85@yahoo.com

### Abstract

**Background and Objective:** With expansion of nanotechnology, nano-hydroxyapatite particles are used in medicine and dentistry fields. The biological effects of these particles are not completely defined. The aim of this study was to determine the cytotoxicity of nano-hydroxyapatite on gingiva-derived fibroblasts.

**Materials and Methods:** Various concentrations of nano-hydroxyapatite from 2 to 0.002 mg/ml were treated on gingiva-derived fibroblast cell line (HGF2) in 24, 48 and 72 hours. MTT and LDH methods were used for evaluation of cytotoxic effect.

**Results:** MTT method: doses higher than 5 and 2 mg/ml in 24 hours, doses higher than 0.2, 2 and 5 mg/ml and lower than 0.01, 0.02, 0.05, 0.002 and 0.005 in 48 hours and doses higher than 0.5, 1, 2, and 5 mg/ml and doses lower than 0, 0.01, 0.02, 0.002 and 0.005 mg/ml in 72 hours caused significant decreases in OD and absorbance of fibroblasts. LDH method: significant increase of LDH release noticed with 5 mg/ml dose in 24 hours, 1, 2, 5 mg/ml doses in 48 hours and 5 mg/ml dose in 72 hours. LDH release decreased with 0.02 mg/ml and 0.01 mg/ml in 24 and 48 hours, respectively. The IC50 was about 6 mg/ml in 24, 48 and 72 hours.

**Conclusion:** In 24 hours and after that, high doses of nano-hydroxyapatite have cytotoxic effect on gingival-derived fibroblasts.

**Key words:** Cytotoxicity, Nano-hydroxyapatite, Fibroblast cell line

Received: 11/2/2012

Last revised: 12/4/2012

Accepted: 22/4/2012